

03;11

Искажения прямоугольного радиоимпульса с хаотической несущей, распространяющегося в диспергирующей резонансно-поглощающей газовой среде

© Г.М. Стрелков, Ю.С. Худышев

Фрязинский филиал Института радиотехники и электроники им. В.А. Котельникова РАН, Фрязино, Московская обл., Россия

E-mail: strelkov@ms.ire.rssi.ru

Поступило в Редакцию 28 января 2019 г.

В окончательной редакции 4 февраля 2019 г.

Принято к публикации 4 февраля 2019 г.

Кратко описаны возможные характер и особенности дисперсионных искажений прямоугольного наносекундного радиоимпульса с хаотической несущей, моделируемой на основе отображения Чебышева первого рода третьего порядка, при распространении в резонансно-поглощающей газовой среде. Показано, что удаление импульса от излучателя сопровождается трансформацией его огибающей к шумоподобному виду. При этом в достаточно широких интервалах значений параметров среды искажения огибающей не сопровождаются разрушением или принципиальными изменениями его авто- и частотной корреляционных функций.

DOI: 10.21883/PJTF.2019.08.47622.17715

Одним из современных направлений развития радиосистем различного назначения является работа с импульсными сигналами, характеристики (амплитуда, фаза, частота) которых изменяются случайным образом (хаотически) (см., например, [1–4]). Такие сигналы обладают широкими спектрами, позволяют, в частности, увеличивать скрытность и помехозащищенность работы систем и обладают рядом других преимуществ по сравнению с регулярными сверхширокополосными сигналами. В зависимости от частотного диапазона, которому принадлежит спектр сигнала, значительное влияние на его распространение могут оказывать природные среды. Для сигналов терагерцевого диапазона (частоты 100–1000 GHz) такой средой является земная атмосфера. Коэффициент поглощения и показатель преломления атмосферы в терагерцевом диапазоне определяются многочисленными резонансными линиями ее малых газовых составляющих, среди которых основная роль принадлежит водяному пару [5]. Соответственно, в задачах статистической радиотехники возникает новый аспект, обусловленный необходимостью создания методик обработки принимаемых сигналов не только с изначально хаотическими характеристиками, но и дополнительно деформированных средой в процессе распространения. В настоящей работе кратко изложены некоторые начальные результаты теоретического анализа дисперсионных искажений электромагнитного импульса в резонансно-поглощающей среде на примере прямоугольного радиоимпульса с хаотической несущей. Хаотичность несущей моделируется на основе отображения Чебышева первого рода третьего порядка. Аналогичным образом задачу можно рассмотреть с привлечением альтернативных отображений, обсуждаемых в литературе

(см., например, [1,6]). Центральная несущая частота импульса f' совпадает с резонансной частотой водяного пара $\nu_{ij} = 380.1$ GHz (длина волны $\lambda = 0.789$ mm). Ближайшая к ней сильная линия молекулы H_2O имеет резонансную частоту 326.4 GHz ($\lambda = 0.919$ mm).

Примем, что: а) текущая величина хаотической несущей f_{ch} в пределах длительности излучаемого импульса t_p претерпевает N скачков в моменты времени $t_k = kt_p/N$ ($k = 1, 2, 3, \dots, N$), оставаясь неизменной в пределах временных промежутков между скачками, равных t_p/N ; б) в пределах временного интервала с номером k величина f_{ch} определяется как

$$f_{ch}(t) = f' + \Delta f_{ch}(t) = f' + (\Delta f/2)X_k, \quad t_{k-1} < t \leq t_k, \quad (1)$$

где f' — центральное значение величины f_{ch} , Δf — интервал ее вариаций („девиация“), величина X_k определяется через отображение Чебышева первого рода третьего порядка:

$$X_k = 4X_{k-1}^3 - 3X_{k-1}. \quad (2)$$

Конкретный вид последовательности величин X_k определяется начальным условием X_0 , причем $|X_0| < 1$ и $|X_0| \neq 0.5$. На рис. 1 приведены примеры ступенчатой функции $f_{ch}(t)$ (а) и ее амплитудного спектра (б). Кривой на рис. 1, б отвечает 99.7% энергии излучаемого импульса, ее центр тяжести совпадает со средним значением величины f_{ch} и равен 381.8 GHz, среднеквадратическая ширина равна 14.6 GHz. При принятых значениях параметров введение хаотической несущей приводит к расширению спектра импульса почти на два порядка по сравнению со случаем квазимонохроматического импульса равной длительности.

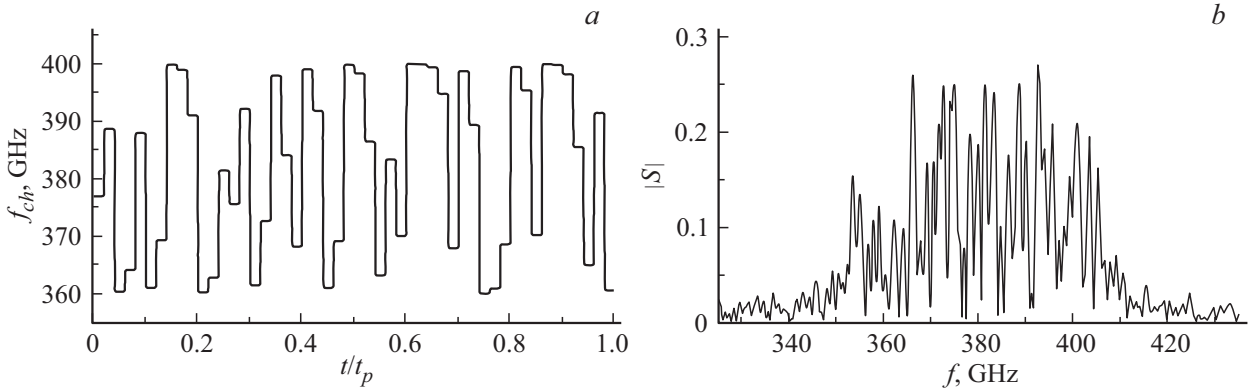


Рис. 1. Несущая f_{ch} (a) и амплитудный спектр $|S|$ (b) прямоугольного радиоимпульса с хаотической несущей при $f' = 380.1$ GHz, $t_p = 10^{-9}$ s, $\Delta f = 40$ GHz, $N = 50$ и $X_0 = 0.05$.

Комплексная огибающая излучаемого прямоугольного импульса с хаотической несущей (1) описывается выражением

$$\tilde{A}(0; t) = \begin{cases} A_0 \exp(i\Phi_{ch}(t)), & 0 \leq t \leq t_p; \\ 0, & t > t_p, \end{cases} \quad (3)$$

где A_0 — „высота“ импульса, $\Phi_{ch}(t) = 2\pi \int_0^t \Delta f_{ch}(t) dt$. В пределах k -го временного интервала $t_{k-1} < t \leq t_k$ мгновенная фаза огибающей равна

$$\Phi_{ch}(t) = \pi \Delta f t_p \frac{1}{N} \sum_{l=1}^{k-1} X_l + \pi \Delta f X_k (t - t_{k-1}). \quad (4)$$

Согласно [7], применительно к изложенной выше постановке задачи искажения комплексной огибающей импульсного сигнала в резонансно-поглощающей газовой среде описываются выражением

$$\begin{aligned} \tilde{A}(\tau; t') = & A_0 \left[\exp(i\Phi_{ch}(t')) - \int_0^{t'} \frac{\sqrt{\delta_1}}{\sqrt{\theta}} J_1(2\sqrt{\delta_1\theta}) \right. \\ & \times \exp((p_1 - i\omega')\theta) \exp(i\Phi_{ch}(t' - \theta)) d\theta \\ & - \int_0^{t'} \frac{\sqrt{\delta_2}}{\sqrt{\theta}} J_1(2\sqrt{\delta_2\theta}) \exp((p_2 - i\omega')\theta) \exp(i\Phi_{ch}(t' - \theta)) d\theta \\ & + \int_0^{t'} \exp(-i\omega'\theta) \exp(i\Phi_{ch}(t' - \theta)) \left[\int_0^\theta \frac{\sqrt{\delta_1}}{\sqrt{\eta}} J_1(2\sqrt{\delta_1\eta}) \right. \\ & \times \exp(p_1\eta) \frac{\sqrt{\delta_2}}{\sqrt{\theta - \eta}} J_1(2\sqrt{\delta_2(\theta - \eta)}) \exp(p_2(\theta - \eta)) d\eta \left. \right] d\theta \left. \right]. \end{aligned} \quad (5)$$

Здесь z — длина трассы; $t' = t - z/c$; c — скорость света; функция $\Phi_{ch}(t')$ определена выше; $\tau(z) = \gamma_{ij}z$

и $\gamma_{ij} = \gamma(v_{ij})$ — оптическая глубина трассы и коэффициент поглощения среды (по мощности) на резонансной частоте; $p_{1,2} = -\delta \pm i\omega_1 = -\delta \pm i\sqrt{\omega_{ij}^2 - \delta^2}$; $\delta = 2\pi dv$; dv — полуширина спектральной линии; $\delta_{1,2} = 0.5\tau\delta(1 \pm i\delta/\omega_1)$; $J_1(x)$ — функция Бесселя. В частном случае $X_0 = 0$ формула (5) описывает искажения прямоугольного квазимонохроматического импульса.

Искажения импульса с хаотической несущей рассмотрим применительно к трассе, проходящей на высоте $h = 12$ km, которую условно полагают верхней границей тропосферы. С учетом данных об атмосфере [8] и приведенных в [9] данных о характеристиках спектральных линий H_2O находим полуширину линии с резонансной частотой 380.1 GHz и коэффициент поглощения в ее центре на высоте 12 km: $dv = 0.5$ GHz и $\gamma_{ij} \approx 0.33$ km $^{-1}$.

Рис. 2 дает общее представление о характере эволюции огибающей $|\tilde{A}(\tau; t')|$ импульса с хаотической несущей. Начальные параметры импульса здесь те же, что на рис. 1. С увеличением оптической глубины трассы изначально прямоугольная огибающая импульса постепенно трансформируется к виду, который визуально можно определить как совокупность отрезка случайного процесса и детерминированного „хвоста“, причем на последний приходится весьма малая доля ($< 1.5\%$) энергии импульса. Другими словами, в пределах временного интервала $t' \in [0 - 1]$ величину поля в некоторый момент времени по его значениям в предыдущие моменты указать не представляется возможным даже предположительно. Примеры деформированных огибающих импульса (3) при альтернативных значениях параметров τ и dv приведены в [10]. Заметим, что с увеличением каждого из них и прочих равных условиях хаотизация огибающей нарастает.

Дополнительное обоснование возможности суждения о деформированной огибающей как о случайном процессе можно получить, анализируя ее интегральные характеристики: центр тяжести $t_{pc}(\tau)$, среднеквадратическую ширину $\Delta t_p(\tau)$, асимметрию $\gamma_1(\tau)$ и эксцесс $\gamma_2(\tau)$. Для

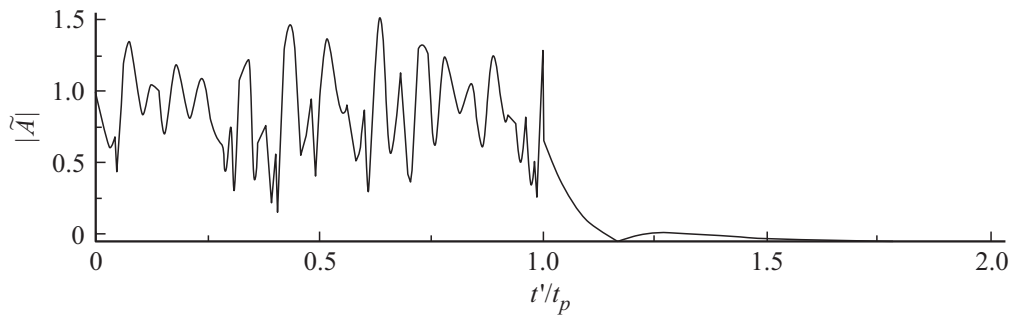


Рис. 2. Огибающая деформированного радиоимпульса с хаотической несущей ($\tau = 10$; шаг расчета $\Delta t' = 0.001t_p$).

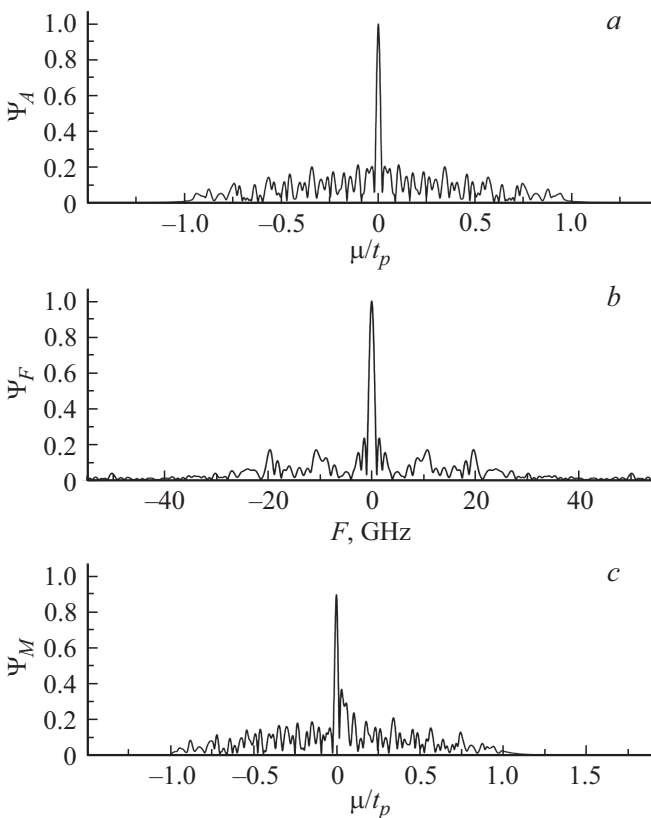


Рис. 3. Авто- (a) и частотная (b) КФ деформированного радиоимпульса и ВКФ (c) излученного импульса (3) и деформированного импульса с огибающей, показанной на рис. 2 ($\tau = 10$; шаг расчетов по $\mu = 0.001t_p$).

кривой на рис. 2 имеем $t_{pc}/t_p = 0.505$, $\Delta t_p/t_p = 0.290$, $\gamma_1 = 0.026$, $\gamma_2 = -1.167$, что весьма близко к значениям параметров излучаемого импульса (0.5, 0.289, 0, -1.2 соответственно). Следовательно, текущая энергия импульса $E_p(\tau)$ равномерно распределена в пределах его длительности, и огибающую на рис. 2 можно охарактеризовать уже как отрезок стационарного случайного процесса.

К интегральным характеристикам импульсных радиосигналов относятся и их корреляционные функции (КФ):

автокорреляционная (АКФ)

$$\Psi_A(\tau; \mu) = \left| \frac{1}{E_p(\tau)} \int_{\mu}^{\infty} \tilde{A}^*(\tau; t') - \mu \tilde{A}(\tau; t') dt' \right| \quad (6)$$

и частотная корреляционная функция (ЧКФ)

$$\Psi_F(\tau; F) = \left| \frac{1}{E_p(\tau)} \int_{\mu}^{\infty} \tilde{A}^*(\tau; t') \tilde{A}(\tau; t') \exp(-i2\pi Ft') dt' \right|. \quad (7)$$

В формулах (6) и (7) μ — временной сдвиг; звездочка — знак комплексного сопряжения; F — частота. Структуры КФ определяют возможности радиосистем по точности измерений дальности и скорости целей. Как и интегральные характеристики, рассмотренные выше, КФ находятся непосредственно по результатам вычислений поля по формуле (5).

На рис. 3, a и b приведены АКФ и ЧКФ импульса с хаотической несущей и огибающей, изображенной на рис. 2. Каждая из кривых имеет узкий и высокий по сравнению с пьедесталом максимум, т. е. близка к идеальной. Таким образом, с нарастанием хаотизации огибающей ее АКФ и ЧКФ по виду остаются такими же, как и у излученного импульса. В отсутствие боковых максимумов их единственными характеристиками являются ширины центральных пиков $\Delta\mu_{0.5}(\tau)$ и $\Delta F_{0.5}(\tau)$ по уровню 0.5. Дополнительный анализ показал, что при указанных в подписи к рис. 1 параметрах импульса влияние длины трассы на ширины АКФ и ЧКФ при $\tau \leq 400$ можно определить как незначительное.

АКФ и ЧКФ отрезка случайного процесса с относительно малым временем корреляции также близки к идеальным. Поэтому по виду КФ, изображенных на рис. 3, a и b, соответствующие им реализации величины $|\tilde{A}(\tau; t')|$ (рис. 2) нельзя с определенностью отнести к случаям приема полезного сигнала или шумоподобной помехи. Это означает, что в резонансно-поглощающей среде эффект частотной дисперсии приводит к дополнительной маскировке полезного сигнала. Если же передаваемый сигнал известен, то параллельное вычисление взаимной КФ (ВКФ) излученного и деформированного

импульсов

$$\Psi_M(\tau; \mu) = \left| \frac{1}{\sqrt{E_p(0)E_p(\tau)}} \int_{\mu}^{\infty} \tilde{A}^*(0; t' - \mu) \tilde{A}(\tau; t') dt' \right| \quad (8)$$

при выявлении выраженного пика у кривых ВКФ может заведомо обеспечить идентификацию обработанной реализации $|\tilde{A}(\tau; t')|$ как деформированного полезного сигнала (рис.3, с).

Список литературы

- [1] *Васюта К.С., Мальшев А.А., Зоц Ф.Ф.* // Системи обробки інформації. 2012. Т. 2. В. 3(101). С. 22–25.
- [2] *Калинин В.И., Чапурский В.В.* // Радиотехника и электроника. 2015. Т. 60. № 10. С. 1025–1035.
- [3] *Пономаренко В.И., Караваев А.С., Глуховская Е.Е., Прохоров М.Д.* // Письма в ЖТФ. 2012. Т. 38. В. 1. С. 103–110.
- [4] *Колесов В.В., Полубехин А.И., Чигин Е.П., Юрин А.Д.* // Вест. СибГУТИ. 2016. № 3. С. 77–92.
- [5] *Жевакин С.А., Наумов А.П.* // Изв. вузов. Радиофизика. 1967. Т. 10. № 9-10. С. 1213–1243.
- [6] *Seventline J.B., Rani D.E., Rajeswari K.R.* // Radioengineering. 2010. V. 19. N 3. P. 415–420.
- [7] *Стрелков Г.М.* // Радиотехника и электроника. 2013. Т. 58. № 10. С. 989–1001.
- [8] *Глаголев Ю.А.* Справочник по физическим параметрам атмосферы. Л.: Гидрометеиздат, 1970. 211 с.
- [9] *Зражевский А.Ю.* // Радиотехника и электроника. 1976. Т. 21. № 5. С. 951–957.
- [10] *Стрелков Г.М., Худышев Ю.С.* // VI Всероссийская микроволновая конференция. Сб. докл. М.: ИРЭ им. В.А. Котельникова РАН, 2018. С. 294–298.